

doi: 10.13241/j.cnki.pmb.2022.12.034

Luminal B 型乳腺癌不同亚型的临床病理特征及预后生存分析*

孙运坡¹ 金秉巍¹ 应学翔¹ 金艳凤² 沈容荣^{1Δ}

(1 上海交通大学附属第六人民医院普通外科 上海 200233; 2 上海交通大学附属第六人民医院病理科 上海 200233)

摘要 目的:分析 Luminal B 型乳腺癌不同亚型患者的临床病理特征以及预后差异。**方法:**回顾性分析 2006 年 1 月至 2016 年 1 月期间上海市第六人民医院徐汇院区和临港院区收治的 359 例原发性 Luminal B 型乳腺癌患者的临床病理以及随访资料, 根据 Luminal B 型乳腺癌分子亚型分为人表皮生长受体 2(Her-2)阴性组(266 例)和 Her-2 阳性组(93 例)。比较两组患者的临床病理特征差异。绘制 Kaplan-Meier 生存曲线, 分析两组患者 5 年无进展生存率和总生存率的差异, 采用 Cox 风险比例回归分析 Luminal B 型乳腺癌患者预后的影响因素。**结果:**Her-2 阳性组 TNM 分期 III~IV 期、肿瘤组织学分级 III 级、PR 阴性、Ki-67 高表达、淋巴结转移比例高于 Her-2 阴性组 ($P<0.05$)。Her-2 阳性组 5 年 DFS、OS 生存率分别为 12.90%、40.86%, 分别低于 Her-2 阴性组的 24.06%、59.77% ($\text{Log-Rank } \chi^2=14.500, 12.860, P=0.000, 0.000$)。TNM 分期 III~IV 期、淋巴结转移、Her-2 阳性、PR 阴性是 Luminal B 型乳腺癌患者不良预后的危险因素 ($P<0.05$)。**结论:**Luminal B 型乳腺癌患者不同分子亚型的 TNM 分期、肿瘤组织学分级、淋巴结转移、Ki-67 和 PR 表达存在差异, 同时, TNM 分期、淋巴结转移、Her-2 阳性、PR 阴性是 Luminal B 型乳腺癌患者预后不良的危险因素。

关键词:乳腺癌; Luminal B 型; 人表皮生长受体 2; 病理特征; 预后; 影响因素

中图分类号:R737.9 **文献标识码:**A **文章编号:**1673-6273(2022)12-2366-06

Clinicopathological Features, Prognosis and Survival Analysis of Different Subtypes of Luminal B Type Breast Cancer*

SUN Yun-po¹, JIN Bing-wei¹, YING Xue-xiang¹, JIN Yan-feng², SHEN Rong-rong^{1Δ}

(1 Department of General Surgery, The Sixth People's Hospital Affiliated to Shanghai Jiaotong University, Shanghai, 200233, China;

2 Department of Pathology, The Sixth People's Hospital Affiliated to Shanghai Jiaotong University, Shanghai, 200233, China)

ABSTRACT Objective: To analyze the clinicopathological features and prognosis difference of Luminal B type breast cancer patients with different subtypes. **Methods:** The clinicopathological and follow-up data of 359 cases of primary Luminal B type breast cancer patients who were admitted to Xuhui And Lingang Hospitals of Shanghai Sixth People's Hospital from January 2006 to January 2016 were retrospectively analyzed. According to Luminal B type breast cancer molecular subtypes, the patients were divided into the human epidermal growth receptor 2 (Her-2) negative group (266 cases) and the Her-2 positive group (93 cases). The clinicopathological features difference of the two groups were compared. Kaplan-meier survival curve was drawn to analyze the difference of 5-year progression-free survival rate and overall survival rate between the two groups, and Cox proportional regression was used to analyze the influencing factors of the prognosis of Luminal B type breast cancer patients. **Results:** TNM stage III~IV stage, tumor histological grade III grade, PR negative, Ki-67 high expression and lymph node metastasis proportion in Her-2 positive group were higher than those in Her-2 negative group ($P<0.05$). The 5-year DFS and OS survival rates in Her-2 positive group were 12.90% and 40.86%, respectively, which were lower than 24.06% and 59.77% in Her-2 negative group ($\text{Log-Rank } \chi^2=14.500, 12.860, P=0.000, 0.000$). TNM stage III~IV stage, lymph node metastasis, Her-2 positive and PR negativewere the risk factors for poor prognosis in Luminal B type breast cancer patients ($P<0.05$). **Conclusion:** There are differences in TNM stage, tumor histological grade, lymph node metastasis, Ki-67 and PR expression in different molecular subtypes of Luminal B type breast cancer patients. Meanwhile, TNM stage, lymph node metastasis, Her-2 positive and PR negative are risk factors for poor prognosis in Luminal B type breast cancer patients.

Key words: Breast cancer; Luminal B type; Human epidermal growth receptor 2; Pathological features; Prognosis; Influencing factors

Chinese Library Classification(CLC): R737.9 **Document code:** A

Article ID: 1673-6273(2022)12-2366-06

* 基金项目: 上海交通大学附属第六人民医院院级课题(DY2019013); 中国高校医学期刊临床专项基金项目(11321394)

作者简介: 孙运坡(1988-), 男, 硕士, 住院医师, 从事乳腺恶性肿瘤的发病机制及治疗研究, E-mail: yunpo2022@126.com

Δ 通讯作者: 沈容荣(1986-), 男, 硕士, 主治医师, 从事乳腺恶性肿瘤的发病机制及治疗研究, E-mail: srr2022@126.com

(收稿日期: 2022-01-07 接受日期: 2022-01-30)

前言

乳腺癌是全球范围内高发和高致命性的高度异质性肿瘤,是女性因癌症死亡的最主要原因^[1,2],我国乳腺癌的发病率和死亡率均居女性恶性肿瘤之首^[3]。Luminal B 型是乳腺癌常见的分子分型之一,具有增殖和侵袭力强、易发生转移的特征,预后相对较差^[4]。人表皮生长受体 2(Her-2)是乳腺癌研究较为透彻的相关基因和分子分型,Her-2 的表达情况不仅与乳腺癌发生和进展有关,而且与乳腺癌肿瘤负荷、淋巴结状况以及生存预后有关,并影响乳腺癌对内分泌或化疗治疗的反应性^[5]。研究显示 Luminal B 型乳腺癌不同 Her-2 状态患者复发模式和临床结果也有所不同^[6]。本研究回顾性分析了 Luminal B 型乳腺癌不同分子亚型患者间临床病理特征和预后的差异,以期临床改善乳腺癌患者预后提供参考价值。

1 资料与方法

1.1 临床资料

回顾性分析 2006 年 1 月至 2016 年 1 月期间上海市第六人民医院徐汇院区和临港院区收治的 359 例原发性 Luminal B 型乳腺癌患者的临床资料。纳入标准:①接受改良根治术、根治术或保乳手术治疗,经术后病理证实为 Luminal B 型乳腺癌;②术前未接受任何形式的治疗;③临床资料以及病理资料完整。排除标准:④其它分型乳腺癌;⑤合并其它类型恶性肿瘤;⑥随访期间失访者。患者资料:年龄 51~73 岁,平均(62.35±7.05)岁;绝经前 90 例,绝经后 269 例。根据 2013 年 St Gallen 国际乳腺癌会议共识中 Luminal B 型乳腺癌分子亚型判断标准^[7]分为 Her-2 阴性组(266 例)和 Her-2 阳性组(93 例)。Her-2 阴性和阳性的判断标准^[7]如下:Her-2 阴性:雌激素受体(ER)阳性和 Her-2 阴性,且至少符合以下一项:Ki-67 高表达;孕激素受体(PR)阴性或低表达;多基因表达分析示高复发风险。Her-2 阳性:ER 阳性,Her-2 过表达或扩增,Ki-67 和 PR 任何水平。

1.2 病理资料收集

收集患者的病理类型、肿瘤大小、肿瘤组织学分级、病理分期、淋巴结转移情况以及免疫组化检测结果等病理资料。病理类型包括导管原位癌伴局部浸润、浸润性导管癌、小叶原位癌伴局部浸润、浸润性小叶癌、特殊类型乳腺癌(粘液癌、大汗腺样癌、髓样癌、湿疹样癌及小管癌等)、罕见型乳腺癌(神经内分泌癌、伴神经内分泌分化的癌及伴化生的癌等)。TNM 分期包括:I 期(T₁N₀M₀)、II 期(T₀₋₃N₀₋₁M₀)、III 期(T₀₋₄N₀₋₃M₀)、IV 期(T₁₋₄N₀₋₃M₁)。肿瘤组织学分级参考第八版《AJCC 癌症分期手册》^[8]:I 级,肿瘤细胞分化好,低度恶性;II 级,肿瘤细胞分化中等,中度恶性;III 级,肿瘤细胞分化差,高度恶性。免疫组化检查:所有乳腺肿瘤标本均取自芯针活检或手术切除,并将每个标本固定在福尔马林固定、石蜡包埋的组织切片中保存。使用 Dako Autostainer Plus 和 EnVision Dual Link 检测试剂(DAKO; Carpinteria, CA)和 DAB(Dako)进行 IHC 染色。采用免疫组化法检测 ER、PR 和 Ki-67 表达,ER 阳性表达≥1%时认为该组织 ER 阳性表达,PR 阳性表达≥20%时认为该组织 PR

阳性表达,Ki-67 阳性表达≥14%时认为该组织 Ki-67 高表达。

1.3 预后随访

采用门诊复查或电话随访方式对所有患者进行随访 5 年,随访截止时间 2021 年 1 月。门诊定期复查是否发生局部复发及转移,局部复发指组织病理学提示原乳腺癌同侧胸壁或区域淋巴结复发,远处转移指临床或影像学检查提示远处出现转移性病灶。记录无病生存期(DFS)和总生存期(OS),DFS 定义为手术日至出现局部复发、远处转移或死亡的时间,OS 定义为手术日至因任何原因引起死亡的时间。

1.4 统计学分析

应用 SPSS 25.00 进行数据处理。病理特征相关计数资料以例(%)表示,采用 χ^2 检验进行比较。Kaplan-Meier 生存曲线分析患者的生存率,Log-Rank 检验生存率的差异。Cox 风险比例回归分析 Luminal B 型乳腺癌患者预后的影响因素。检验水准 $\alpha=0.05$ 。

2 结果

2.1 Her-2 阳性组与 Her-2 阴性组临床病理特征差异

Her-2 阳性组 TNM 分期 III~IV 期、肿瘤组织学分级 III 级、PR 阴性、Ki-67 高表达、淋巴结转移比例高于 Her-2 阴性组($P<0.05$)。见表 1。

2.2 Her-2 阳性组与 Her-2 阴性组生存预后比较

随访期间局部复发 57 例,远处转移 64 例,死亡 162 例。Kaplan-Meier 生存曲线分析显示,Her-2 阳性组的 5 年 DFS、OS 生存率分别为 12.90%(12/93)、40.86%(38/93),分别低于 Her-2 阴性组的 24.06%(64/266)、59.77%(159/266),两组 DFS、OS 生存率差异均有显著性意义($P<0.05$),见表 2, Kaplan-Meier 生存曲线见图 1。

2.3 Luminal B 型乳腺癌患者预后的影响因素分析

以 Luminal B 型乳腺癌患者随访期间是否死亡为因变量(1=死亡,0=存活),纳入年龄(赋值:1=≥60 岁,2=<60 岁)、月经状态(赋值:1=绝经前期,2=绝经后期)、病理类型(赋值:1=导管原位癌伴局部浸润,2=浸润性导管癌,3=小叶原位癌伴局部浸润,4=浸润性小叶癌,5=特殊类型乳腺癌,6=罕见型乳腺癌)、肿瘤直径(赋值:1=T1-2,2=T3-4)、TNM 分期(赋值:0=I~II 期,1=III~IV 期)、肿瘤组织学分级(赋值:0=I~II 级,1=III 级)、PR(赋值:0=阳性,1=阴性)、Ki-67(赋值:0=低表达,1=高表达)、淋巴结转移(赋值:0=否,1=是)以及 Her-2 表达(赋值:0=阴性,1=阳性)为自变量。单因素 Cox 风险回归分析显示:肿瘤组织学分级、TNM 分期、淋巴结转移、Ki-67 表达、Her-2 表达、PR 表达与 Luminal B 型乳腺癌患者不良预后发生有关($P<0.05$),多因素 Cox 风险回归分析显示:TNM 分期 III~IV 期、淋巴结转移、Her-2 阳性、PR 阴性是 Luminal B 型乳腺癌患者不良预后的危险因素($P<0.05$),见表 3、表 4。

3 讨论

乳腺癌是一种起源于乳腺上皮组织的恶性肿瘤,根据 ER、PR、HER-2 和 Ki67 标记指数将乳腺癌分为四种亚型:HER-2

富集型、三阴性、Luminal A 型以及 Luminal B 型,其中 Luminal B 型乳腺癌具有 PR 阴性 / 低表达、HER-2 阳性 / 过表达、Ki-67 高表达的特点,侵袭力强、复发风险大、预后相对较差^[9,10]。由于 Luminal B 型乳腺癌发病机制复杂,临床治疗相对棘手,预后较

表 1 Her-2 阳性组与 Her-2 阴性组临床病理特征差异【例(%)】

Table 1 Difference of clinicopathological features between Her-2 positive group and Her-2 negative group[n(%)]

| Clinicopathological features | n | Her-2 positive group (n=93) | Her-2 negative group (n=266) | χ^2 | P |
|---|-----|--------------------------------|---------------------------------|----------|-------|
| Age | | | | | |
| ≥ 60 years | 234 | 61(65.59) | 173(65.04) | 0.009 | 0.923 |
| < 60 years | 125 | 32(34.41) | 93(34.96) | | |
| Menstrual state | | | | | |
| Premenopausal period | 90 | 26(27.96) | 64(24.06) | 0.557 | 0.455 |
| Postmenopausal period | 269 | 67(72.04) | 202(75.94) | | |
| Pathological type | | | | | |
| Ductal carcinoma in situ with local invasion | 99 | 27(29.03) | 72(27.07) | 0.281 | 0.991 |
| Invasive ductal carcinoma | 61 | 16(17.20) | 45(16.92) | | |
| Lobular carcinoma in situ with local invasion | 76 | 19(20.43) | 57(21.43) | | |
| Invasive lobular carcinoma | 71 | 17(18.28) | 54(20.30) | | |
| Special types of breast cancer | 31 | 8(8.61) | 23(8.65) | | |
| Rare breast cancer | 22 | 6(6.45) | 16(6.03) | | |
| Tumor diameter | | | | | |
| T ₁ | 80 | 26(27.96) | 54(20.30) | 3.044 | 0.385 |
| T ₂ | 121 | 30(32.26) | 91(34.21) | | |
| T ₃ | 102 | 26(27.96) | 76(28.57) | | |
| T ₄ | 56 | 11(11.82) | 45(16.92) | | |
| TNM stage | | | | | |
| I stage | 87 | 16(17.20) | 71(26.69) | 20.993 | 0.000 |
| II stage | 124 | 20(21.51) | 104(39.10) | | |
| III stage | 101 | 39(41.94) | 62(23.31) | | |
| IV stage | 47 | 18(19.35) | 29(10.90) | | |
| Tumor histological grade | | | | | |
| I grade | 82 | 14(15.05) | 68(25.56) | 16.691 | 0.000 |
| II grade | 150 | 30(32.26) | 120(45.12) | | |
| III grade | 127 | 49(52.69) | 78(29.32) | | |
| PR | | | | | |
| Negative | 225 | 69(74.19) | 156(58.65) | 7.120 | 0.008 |
| Positive | 93 | 24(25.81) | 110(41.35) | | |
| Ki-67 | | | | | |
| Low expression | 101 | 15(16.13) | 86(32.33) | 8.946 | 0.003 |
| High expression | 258 | 78(83.87) | 180(67.67) | | |
| Lymph node metastasis | | | | | |
| Yes | 167 | 59(63.44) | 108(40.60) | 14.448 | 0.000 |
| No | 192 | 34(36.56) | 158(59.40) | | |

表 2 Her-2 阳性组与 Her-2 阴性组生存预后资料
Table 2 Survival and prognosis data of Her-2 positive group and Her-2 negative group

| Groups | n | 5-year survival rate(%) | Logrank χ^2 | P | |
|--------|----------------------|-------------------------|------------------|-------|-------|
| DFS | Her-2 positive group | 93 | 12.90(12/93) | 7.637 | 0.006 |
| | Her-2 negative group | 266 | 24.06(64/266) | | |
| OS | Her-2 positive group | 93 | 40.86(38/93) | 8.858 | 0.003 |
| | Her-2 negative group | 266 | 59.77(159/266) | | |

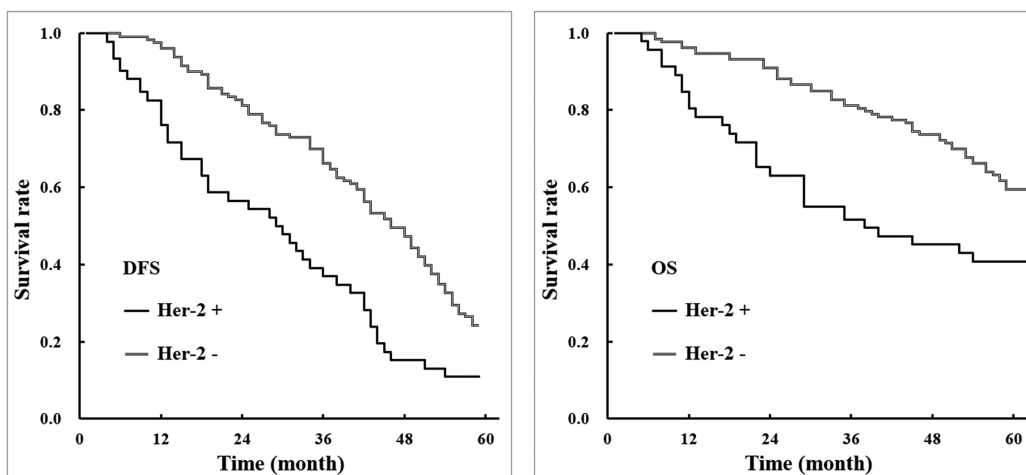


Fig.1 Kaplan-Meier survival curve of Her-2 positive group and Her-2 negative group

Note: + was positive group. - was negative group.

表 3 影响 Luminal B 型乳腺癌患者预后的单因素 Cox 比例风险回归模型

Table 3 Single factor Cox proportional hazards regression model for prognosis of Luminal B type breast cancer patients

| Factors | β | SE | Wald χ^2 | HR | 95%CI | P |
|--------------------------|---------|-------|---------------|-------|-------------|-------|
| Tumor histological grade | 0.425 | 0.159 | 7.145 | 1.530 | 1.120~2.089 | 0.012 |
| TNM stage | 0.502 | 0.168 | 8.929 | 1.652 | 1.189~2.296 | 0.000 |
| Lymph node metastasis | 0.623 | 0.189 | 10.866 | 1.865 | 1.287~2.701 | 0.000 |
| Her-2 | 0.530 | 0.177 | 8.966 | 1.699 | 1.201~2.403 | 0.000 |
| Ki-67 | 0.469 | 0.162 | 8.381 | 1.598 | 1.432~1.635 | 0.002 |
| PR | 0.639 | 0.163 | 15.368 | 1.895 | 1.376~2.608 | 0.000 |

表 4 影响 Luminal B 型乳腺癌患者预后的多因素 Cox 比例风险回归模型

Table 4 Multivariate Cox proportional hazards regression model for prognosis of Luminal B type breast cancer patients

| Factors | β | SE | Wald χ^2 | HR | 95%CI | P |
|-----------------------|---------|-------|---------------|-------|-------------|-------|
| TNM stage | 0.532 | 0.182 | 8.544 | 1.702 | 1.192~2.432 | 0.000 |
| Lymph node metastasis | 0.682 | 0.193 | 12.487 | 1.978 | 1.355~2.887 | 0.000 |
| Her-2 | 0.532 | 0.163 | 10.652 | 1.702 | 1.237~2.343 | 0.000 |
| PR | 0.569 | 0.191 | 8.874 | 1.766 | 1.215~2.569 | 0.000 |

差,因此有必要了解 Luminal B 型乳腺癌不同分子分型之间病理特征和预后差异。

HER-2 是一种具有酪氨酸蛋白激酶活性的跨膜蛋白,属于表皮生长因子受体(EGFR)家族,其基因位于染色体 17q21,编

码生长因子受体^[1],HER-2 主要通过 EGFR 家族中其他成员形成异二聚体与各自配体结合,引起受体二聚化及胞浆内酪氨酸激酶区的自身磷酸化,激活酪氨酸激酶的活性,进而介导 Ras/Raf/ 分裂素活化蛋白激酶、磷脂酰肌醇 3 羟基激酶 / 蛋白

激酶 B、信号转导及转录激活等信号转导,参与细胞增殖和凋亡调控机制^[12,13],HER-2 过表达可抑制癌细胞凋亡,促使癌细胞增殖分化,增加癌细胞的侵袭力,促进肿瘤血管和淋巴管新生,现有报道显示 HER-2 阳性乳腺癌是一种侵袭性乳腺癌,癌细胞生长增殖更快,更容易扩散转移,HER-2 表达和扩增对乳腺癌治疗和预后具有重要指导作用和意义^[14,15]。

伊朗学者的一项研究发现乳腺癌患者中 HER-2 阳性检出率高达 44.51%(1350/3033)^[16],我国西南地区乳腺癌患者 HER-2 基因扩增率为 31.07%(183/589)^[17],本研究 Luminal B 型乳腺癌 HER-2 阳性检出率为 25.91%(93/359),分析原因为由于检测方法、地域和人群种属不同,导致 HER-2 在乳腺癌的构成比例也不相同。

本研究中 Her-2 阳性组 TNM 分期 III~IV 期、肿瘤组织学分级 III 级、PR 阴性、Ki-67 高表达、淋巴结转移比例高于 Her-2 阴性组,表明 Her-2 阳性表达与 Luminal B 型乳腺癌患者临床病理特征有关。马少君等人^[18]、Shi 等人^[19]报道同样指出 Her-2 阳性表达与乳腺癌 TNM 分期、淋巴结转移有关。张青等人^[20]、Dang 等人^[21]研究结果显示 Her-2 基因扩增与 Ki-67 表达呈显著正相关,与 PR 表达呈负相关。以上结果提示 Her-2 过表达与乳腺癌 Ki-67 过表达以及乳腺癌恶性增殖转移有关。郑雅方等人^[22]指出 Luminal B 型晚期乳腺癌患者中 HER-2 阳性型中的 Ki-67 指数比 HER-2 阴性型更高。研究显示 Her-2 阳性乳腺癌是一种侵袭性更强的乳腺癌亚型,腺苷酸激酶 4 作为腺苷酸激酶家族的成员,参与细胞能量代谢和癌症进展^[23,24],腺苷酸激酶 4 过表达可促使乳腺癌细胞中 Her-2 阳性表达,进而促使乳腺癌细胞生长和转移^[25]。Her-2 过表达可促使血管内皮生长因子-C 表达,促使乳腺癌细胞增殖,淋巴管生成,进而诱导淋巴结转移和肿瘤进展^[26]。而 Ki-67 是肿瘤细胞增殖的标志物,PR 阴性则反映乳腺癌恶性侵袭生物学行为,因此 HER-2 阳性组 PR 阴性、Ki-67 高表达比例高于阴性组。

本研究生存曲线分析结果显示 Her-2 阳性组 5 年 DFS、OS 生存率低于 Her-2 阴性组,Cox 回归分析显示,TNM 分期 III~IV 期、Her-2 阳性、淋巴结转移、PR 阴性是 Luminal B 型乳腺癌患者不良预后的危险因素。现有研究显示 Luminal B 型乳腺癌具有 HER-2、Ki-67 高表达的特点,更容易出现肿瘤细胞的侵袭转移,因此更具侵袭性,临床预后较差^[27]。已知淋巴结转移对 Luminal B 型乳腺癌患者的预后产生负面影响,转移至淋巴结的癌细胞可通过淋巴液循环发生远处转移,导致肿瘤复发和进展,受累淋巴结数量越多乳腺癌患者预后越差^[28]。TNM 分期越高提示 Luminal B 型乳腺癌侵袭性越强,发生复发转移的可能性越大,因此生存率越低^[29],PR 阴性乳腺癌侵袭性高,缺乏内分泌和靶向治疗的靶点,易发生复发转移以及进展的风险越大^[30]。

综上,Luminal B 型乳腺癌患者不同分子亚型的 TNM 分期、肿瘤组织学分级、淋巴结转移、Ki-67 和 PR 表达存在差异,同时,TNM 分期、淋巴结转移、Her-2 阳性、PR 阴性是 Luminal B 型乳腺癌患者预后不良的危险因素。本研究不足之处未与其它分子分型乳腺癌进行比较,在以后研究中将继续扩大样本范

围,以证实 Luminal B 型乳腺癌与其它分子分型乳腺癌的临床病理和预后差异。

参考文献(References)

- [1] Wang X, Wang C, Guan J, et al. Progress of Breast Cancer basic research in China[J]. Int J Biol Sci, 2021, 17(8): 2069-2079
- [2] DeSantis CE, Ma J, Gaudet MM, et al. Breast cancer statistics, 2019 [J]. CA Cancer J Clin, 2019, 69(6): 438-451
- [3] Chen W, Zheng R, Baade PD, et al. Cancer statistics in China, 2015[J]. CA Cancer J Clin, 2016, 66(2): 115-132
- [4] Li ZH, Hu PH, Tu JH, et al. Luminal B breast cancer: patterns of recurrence and clinical outcome[J]. Oncotarget, 2016, 7(40): 65024-65033
- [5] Nagaraj G, Ma CX. Clinical Challenges in the Management of Hormone Receptor-Positive, Human Epidermal Growth Factor Receptor 2-Negative Metastatic Breast Cancer: A Literature Review [J]. Adv Ther, 2021, 38(1): 109-136
- [6] 郭晓娟,王金西,牛广旭,等. EGFR 与 HER-2 在不同分子类型乳腺癌中的表达及其相关性分析[J]. 癌变.畸变.突变, 2022, 34(2): 119-123, 148
- [7] Untch M, Gerber B, Harbeck N, et al. 13th st. Gallen international breast cancer conference 2013: primary therapy of early breast cancer evidence, controversies, consensus - opinion of a german team of experts (zurich 2013)[J]. Breast Care (Basel), 2013, 8(3): 221-229
- [8] Barrett AW, Tighe JV, Gulati A, et al. Staging of squamous cell carcinoma of the tongue: extrinsic lingual muscles and the 8th editions of the American Joint Committee on Cancer/Union for International Cancer Control staging manuals[J]. Br J Oral Maxillofac Surg, 2017, 55(9): 921-926
- [9] Tan S, Fu X, Xu S, et al. Quantification of Ki67 Change as a Valid Prognostic Indicator of Luminal B Type Breast Cancer After Neoadjuvant Therapy[J]. Pathol Oncol Res, 2021, 27(20): 1609972
- [10] Pellegrino B, Hlavata Z, Migali C, et al. Luminal Breast Cancer: Risk of Recurrence and Tumor-Associated Immune Suppression [J]. Mol Diagn Ther, 2021, 25(4): 409-424
- [11] Kolarova I, Vanasek J, Odrázka K, et al. Therapeutic significance of hormone receptor positivity in patients with HER-2 positive breast cancer [J]. Biomed Pap Med Fac Univ Palacky Olomouc Czech Repub, 2019, 163(4): 285-292
- [12] Kunte S, Abraham J, Montero AJ. Novel HER2-targeted therapies for HER2-positive metastatic breast cancer [J]. Cancer, 2020, 126(19): 4278-4288
- [13] Asif HM, Sultana S, Ahmed S, et al. HER-2 Positive Breast Cancer - a Mini-Review[J]. Asian Pac J Cancer Prev, 2016, 17(4): 1609-1615
- [14] Kok JPC, Haji Abdul Hamid MRW, Patnaik RS, et al. Fluorescence in situ hybridisation analysis of human epidermal growth factor receptor 2 status for breast cancer cases in Brunei Darussalam [J]. Cancer Rep (Hoboken), 2020, 3(5): e1249
- [15] Shah AN, Metzger O, Bartlett CH, et al. Hormone Receptor-Positive/Human Epidermal Growth Receptor 2-Negative Metastatic Breast Cancer in Young Women: Emerging Data in the Era of

- Molecularly Targeted Agents[J]. *Oncologist*, 2020, 25(6): e900-e908
- [16] Keyhani E, Muhammadnejad A, Karimlou M. Prevalence of HER-2-positive invasive breast cancer: a systematic review from Iran [J]. *Asian Pac J Cancer Prev*, 2012, 13(11): 5477-5582
- [17] Ruan S, Liu Y, Tang X, et al. HER-2 status and its clinicopathologic significance in breast cancer in patients from southwest China: re-evaluation of correlation between results from FISH and IHC[J]. *Int J Clin Exp Pathol*, 2017, 10(7): 7270-7276
- [18] 马少君, 刘延梅, 张月浪, 等. 雌激素受体阴性乳腺癌 HER-2 过表达及与影像学和临床病理特征的关系[J]. *现代肿瘤医学*, 2016, 24(23): 3725-3729
- [19] Shi P, Chen C, Yao Y. Correlation Between HER-2 Gene Amplification or Protein Expression and Clinical Pathological Features of Breast Cancer [J]. *Cancer Biother Radiopharm*, 2019, 34(1): 42-46
- [20] 张青, 李小欢, 杨真, 等. 110 例乳腺癌患者 HER-2 基因扩增状况及其与临床病理特征的关系[J]. *中国医药导报*, 2013, 10(11): 86-88
- [21] Dang Cong T, Nguyen Thanh T, Nguyen Phan QA, et al. Correlation between HER2 Expression and Clinicopathological Features of Breast Cancer: A Cross- Sectional Study in Vietnam [J]. *Asian Pac J Cancer Prev*, 2020, 21(4): 1135-1142
- [22] 郑雅方, 贾勇圣, 郎荣刚, 等. luminal B 型晚期乳腺癌临床病理特征及预后分析[J]. *中国肿瘤临床*, 2017, 44(4): 163-168
- [23] Liu X, Gonzalez G, Dai X, et al. Adenylate Kinase 4 Modulates the Resistance of Breast Cancer Cells to Tamoxifen through an m6A-Based Epitranscriptomic Mechanism [J]. *Mol Ther*, 2020, 28(12): 2593-2604
- [24] 赵江涛, 张伟, 吴吉海, 等. HER2 过表达型乳腺癌中 AK4 的表达及临床意义[J]. *医学综述*, 2019, 25(12): 2479-2483
- [25] Zhang J, Yin YT, Wu CH, et al. AK4 Promotes the Progression of HER2-Positive Breast Cancer by Facilitating Cell Proliferation and Invasion[J]. *Dis Markers*, 2019, 20(11): 8186091
- [26] Schoppmann SF, Tamandl D, Roberts L, et al. HER2/neu expression correlates with vascular endothelial growth factor-C and lymphangiogenesis in lymph node-positive breast cancer [J]. *Ann Oncol*, 2010, 21(5): 955-960
- [27] 夏海娜, 张森. HER-2 PR ER 及 Ki-67 对老年乳腺癌病理分型的临床意义[J]. *浙江临床医学*, 2015, 17(6): 1022-1023
- [28] 辛肇晨, 吴茜, 方昭然, 等. Luminal A 型和 Luminal B 型乳腺癌患者的腋窝淋巴结转移发生率及预后的比较研究[J]. *现代生物医学进展*, 2021, 21(5): 846-849, 875
- [29] Fan R, Chen Y, Nechuta S, et al. Prediction models for breast cancer prognosis among Asian women[J]. *Cancer*, 2021, 127(11): 1758-1769
- [30] 王芳, 马丽, 沈贵华, 等. ER/PR 阴性乳腺癌的临床病理特征及预后[J]. *中国肿瘤临床与康复*, 2011, 18(2): 106-111